

# 图论&组合学讨论讲义(I)

## 大致内容

- 主要工具: root system.
- 待解决问题:  $\lambda_{\min} = -2$  简单图之分类.
- 补充内容:  $\lambda_{\min} = -2$  之 srg.

## 一些启发

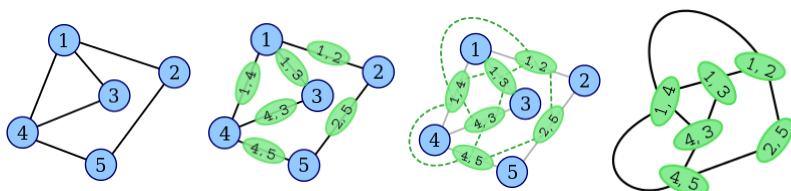
启发I:  $\lambda_{\min} = -2$  为何重要?

## 线图(line graph)

图论有时研究边关系, 但研究边较研究点困难. 假设我们需要研究简单图  $G$  之边集  $E(G)$ , 则自然想到构造出某一张简单图  $L(G)$  使得:

- $V(L(G))$  与  $E(G)$  一一对应, 即存在双射  $\pi: E(G) \rightarrow V(L(G))$ .
- $\forall x, y \in V(L(G)), x \sim y$  等价于  $\pi(x)$  与  $\pi(y)$  有公共顶点.

对任意给定的  $G$ , 可构造  $L(G)$ . 点对应边, 保留相邻关系.



但对一般图直接作出线图大抵是令人望而却步的. 但回想到

图  $G$  中从点  $i$  到  $j$  的步数为  $k$  的行走方式有  $a_{ij}^{(k)}$  种, 其中  $a_{ij}^k$  为矩阵  $A(G)^k$  的  $(i, j)$  个元素.

我们认定由边走向一端的顶点为"半步". 由此可做导出矩阵(induced matrix)

$B := (b_{ve})_{|V| \times |E|}$ , 满足:

- $b_{ve} = 1$  若且仅若点  $v$  与边  $e$  相连.

- 其余  $b_{ve} = 0$ .

从而  $B^T B$  记录了边与边的相邻关系,  $B^T B$  中元素即对应边的公共顶点数量. 可以观察到:

- $B^T B$  对角元素为 2, 从而  $B^T B - 2I_{|E|}$  即为  $G$  线图之邻接矩阵  $A(L(G))$ .
- 由于  $B^T B$  半正定,  $L(G)$  之特征值至少为  $-2$ .

## 广义线图(generalised line graph)

在  $G$  的某点多连出一条半固定的边, 得  $G'$ . 可见

$$A(L(G')) = \begin{pmatrix} 0 & u^T \\ u & A(L(G)) \end{pmatrix}.$$

若在同一顶点上再连出半固定的边, 得  $G''$ . 可见

$$A(L(G'')) = \begin{pmatrix} 0 & 1 & u^T \\ 1 & 0 & u^T \\ u & u & A(L(G)) \end{pmatrix}.$$

删去  $(1, 2)$  与  $(2, 1)$  元素后, 矩阵的最小特征值仍不会超过  $-2$ . 因此, 一些线图的邻接矩阵是"特征值下限过大的". 我们希望存在图  $G^*$  使得

$$A(L(G'')) = \begin{pmatrix} 0 & \mathbf{0} & u^T \\ \mathbf{0} & 0 & u^T \\ u & u & A(L(G)) \end{pmatrix}.$$

$G^*$  是否为简单图? 显然不是, 可以自己画画.

假设读者已熟悉  $G^*$  之大貌, 我们称附加上  $G^*$  中花瓣结构(*pendant*)的简单图为广义线图(generalised line graph). 构造广义线图的一般步骤如下:



通过关系  $A^2 = 16A + 80I + 20J$ , 定义

$$Z := (A - \lambda_2 I)(I - n^{-1}J) = A + 4I - \frac{1}{4}J.$$

由  $\ker Z = \ker(A - \lambda_2 I) + \text{span}(\mathbf{1})$  可知  $\text{rank}(Z) \leq 65$ . 记  $\{Z_i\}$  为  $Z$  的所有行向量, 则  $\{Z_i\}$  可嵌入  $\mathbb{R}^{65}$ .

下计算距离  $\|Z_i - Z_j\|$ . 注意到

$$\langle Z_i, Z_j \rangle = z_{ij}^{(2)} = \begin{cases} 90 & i = j \\ 18 & v_i \sim v_j. \\ -6 & v_i \not\sim v_j \end{cases}$$

故  $\|Z_i - Z_j\| \leq \text{diam}(\{Z_i\}) = 8\sqrt{3}$ . 当子集  $\{Z_j\} \subset \{Z_i\}$  之直径等于  $8\sqrt{3}$  时,  $\{Z_j\}$  一定包含两个距离为  $8\sqrt{3}$  的向量.

若  $\{Z_i\}$  能分成 66 个子集  $\dot{\cup}_{i=1}^{66} \{A_i\}$ , 且  $\text{diam}(A_i) < 8\sqrt{3}$  恒成立, 则根据鸽笼原理,  $|A_i| \leq 5$  恒成立; 与  $5 \times 66 > 416$  矛盾!

该反例之构造核心是: 我们选取了一组很有规律的  $\{Z_i\}$ , 使得其中元素彼此之距离仅能取两个值.

## 启发的意义

上述两则例子给予了我们启发:

1. 最小特征值为  $-2$  的简单图具有一定的意义, 其本质似乎就是线图, 广义线图一类的东西.
2. 图论可以引导我们构造出某些不大显然的向量集合  $\{Z_i\}$ , 使得  $\langle Z_i, Z_j \rangle$  仅能取很少一部分的值.

似乎就是四字已被刻意加粗, 这暗示我们不妨检验反例之源: **Petersen图**.

注意到 **Petersen图** 中任意相邻的两点  $v, u$ ,  $N(u) \neq N(v)$ : 从而 **Petersen图** 并非广义线图. 假设存在  $H$  使得  $L(H)$  为 **Petersen图**, 则由于 **Petersen图** 中相邻两点没有公共邻点, 故  $H$  中不含度为 3 的点. 检验知  $H$  为若干圈, 散点, 路之无交并: 矛盾.

因此, 我们自然问:

1. 能否找出所有最小特征值为  $-2$  的简单图, 并为此分类?
2. 能否主动利用这些  $\{Z_i\}$ , 反过来研究图?

## 例外图

### 根系之引入

我们称例外图为(像Petersen图一般)拥有最小特征值 $-2$ 但非线图或广义线图的图. 不妨设 $A$ 为某一例外图的邻接矩阵, 则有分解 $A + 2I = QQ^T$ , 其中

$$Q = (q_1|q_2|\cdots|q_{n-1}|q_n).$$

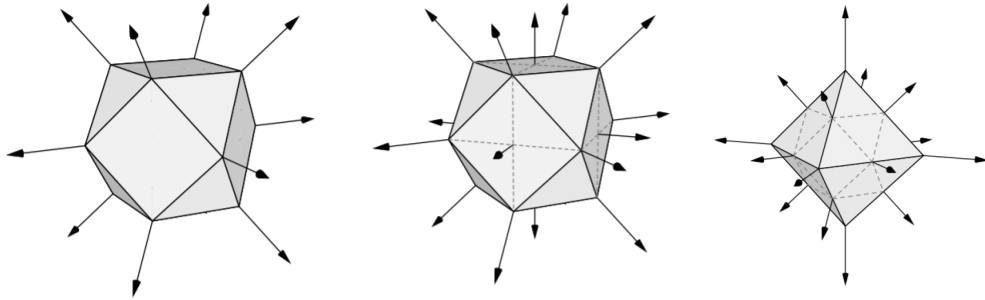
此外,  $\|q_i\|^2 = 2$ 为 $A + 2I$ 的对角元. 对 $i \sim j$ ,  $q_i$ 与 $q_j$ 夹角为 $\pi/3$ ; 反之 $q_i \perp q_j$ .

上述 $\{q_i\}$ 比较乱. 为在某一等价关系下定位 $\{q_i\}$ , 应当做所谓的完备化. 自然:

1. 若视 $q_i$ 为向量, 则所有 $-q_i$ 应被包括在完备系中.
2. 若存在 $q_i, q_j \in Q$ 使得 $q_i$ 与 $q_j$ 代表的直线夹角为 $\pi/3$ , 则可以添加 $q_k$ 使得 $q_i, q_j, q_k$ 各自所在的直线分别夹角 $\pi/3$ .

完备化过程中, 自然保证所有元素长度均为 $\sqrt{2}$ , 不同元素的内积取值应也被限定为 $\{0, \pm 1\}$ . 实际上一般的理论中, 元素长度未作特别苛刻的限定, 但不同元素之的夹角 $\theta$ 需满足 $4\cos^2\theta \in \{1, 2, 3\}$ .

这些完备系长什么样? 可以体会下图.



在尝试中, 我们需弥补一严重漏洞: 图未必连通. 研究线图与例外图之无交并显然没有意义, 我们应投身这些例外图的最小组成单元. 对不连图而言, 其根系应当能分为全体正交的两部分. 我们称完备根系 $\Phi$ 为不可约的, 若且仅若 $\Phi$ 对任意 $\Phi_1, \Phi_2$ , 不存在同时满足以下条件之情形:

1.  $\Phi_1 \neq \emptyset, \Phi_2 \neq \emptyset$ .
2.  $\Phi_1 \cap \Phi_2 = \emptyset, \Phi_1 \cup \Phi_2 = \Phi$ .
3.  $\forall (\alpha, \beta) \in \Phi_1 \times \Phi_2, \langle \alpha, \beta \rangle = 0$ .

由于我们研究的是组合, 因此并不需要像分析一样讨论完备的空间; 尚且 $\Phi$ 中向量太多, 我们可以在不改变信息熵的情形下删除若干者.

由于根系的本质是有限维度欧式空间上的一组向量, 则对任意  $\Phi$ , 存在向量  $\alpha$  使得  $\forall x \in \Phi$ ,  $\langle \alpha, x \rangle \neq 0$ . 记  $\Phi_+(\alpha) := \{x \in \Phi : \langle x, \alpha \rangle > 0\}$ . 其次, 称根系  $\Phi'$  为单的若且仅若

1.  $\Phi'$  由某一个半不可约空间  $\Phi_+(\alpha)$  导出
2. 且  $\Phi'$  中任意向量无法用  $\Phi_+(\alpha)$  中某两个向量之加和表示.

显然:

任意不可约根系可通过删减若干向量化作某一单的新根系, 且新根系之完备化仍为原来的不可约根系.

再有结论:  $\forall x, y \in \Phi'$ , 都有  $\langle x, y \rangle \leq 0$ . 反之设  $\langle x, y \rangle > 0$ , 即成交  $\pi/3$ , 则  $x - y$  与  $y - x$  有一者于  $\Phi_+(\alpha)$  中. 不妨设  $x - y \in \Phi_+(\alpha)$ , 则  $x - y + y = x$ , 与  $x$  为单的之假定矛盾!

对任意不可约根系  $\Phi'$ , 将其中向量视作点, 定义 Dynkin 图为一类容许重边的简单图. 其中  $\beta_1, \beta_2 \in \Phi'$ ,  $v_1$  与  $v_2$  相连之边数为  $4 \cos^2 \theta \in \{0, 1, 3\}$ .

## 依 Dynkin 图分类例外图

显然  $\Phi'$  与  $\Phi$  秩相同, 故  $\Phi'$  中向量线性独立且张成全空间, 同时对任意  $i \neq j$  均有  $\langle u_i, u_j \rangle \leq 0$ ,  $4 \cos^2 \theta \in \{0, 1, 3\}$ . 注意到

$$\begin{aligned} 0 &< \left( \sum_i v_i, \sum_i v_i \right) \\ &= \sum_i \|v_i\|^2 + 2 \sum_{i < j} (v_i, v_j) \\ &\leq n - |E| \end{aligned}$$

其中, Dynkin 图边数  $|E|$  小于顶点数, 从而为树. 由于代求之 Dynkin 图由不可约根系推出, 从而连通. Dynkin 图无外乎以下情形:

1. 无重边的树.
2. 仅有一条三重边的树.

再者, Dynkin 图顶点度数不应大于 3. 不妨设  $c$  有邻点  $\{v_1, \dots, v_k\}$ , 由于图中无圈, 故  $\{v_1, \dots, v_k\}$  两两正交. 设  $v_0$  为  $c - \sum_{i=1}^k (c, v_i) v_i$  对应的标准向量, 则  $v_0 = \sum_{i=1}^k (c, v_i) v_i$ . 从而

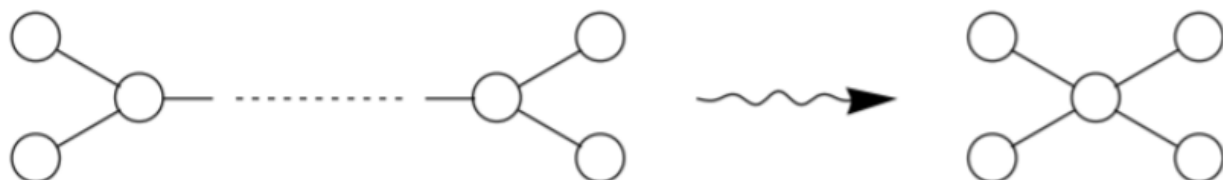
$$1 = (c, c) = (c, v_0)^2 + \sum_{i=1}^k (c, v_i)^2 > \sum_{i=1}^k (c, v_i)^2.$$

从而  $\deg c = \sum_{i=1}^k 4(c, v_i)^2 < 4$ . 因此, 仅有一条三重边的树只能为  $G_2$ .

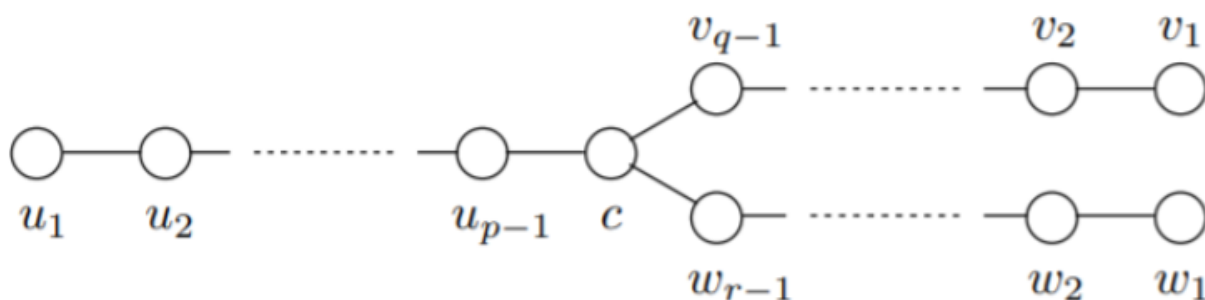
显然, Dynkin图以一系列由单边构成的链条为主体. 不妨设 $v_1 - v_2 - \cdots - v_n$ 为链, 记 $v := \sum_{i=1}^k v_i$ , 则

$$(v, v) = \sum_{i=1}^k + 2 \sum_{i < j} (v_i, v_j) = k - (k-1) = 1.$$

对 $\{v_i\}_{i=1}^k$ 以外的点 $u$ 而言,  $u$ 至多与 $\{v_i\}_{i=1}^k$ 中一点 $v_l$ 相交(由于无圈性), 从而 $2(u, v) = 2(u, v_l) \in \{-1, -\sqrt{3}\}$ . 因此, 可将链等价于一点! 由是可剔除以下情形:



从而Dynkin图或为直线, 或为以下形式:



若链无分支, 则构造容易: 只需在 $n$ 维上半平面作 $n$ 个两两成角 $2\pi/3$ 的向量 $S_n = \{x_1, \dots, x_n\}$ , 再研究

$$\pm[S_n \cup \{x_i + x_j : (x_i, x_j \in S_n) \wedge (i \neq j)\}]$$

即可构造出 $A_n$ 类图.

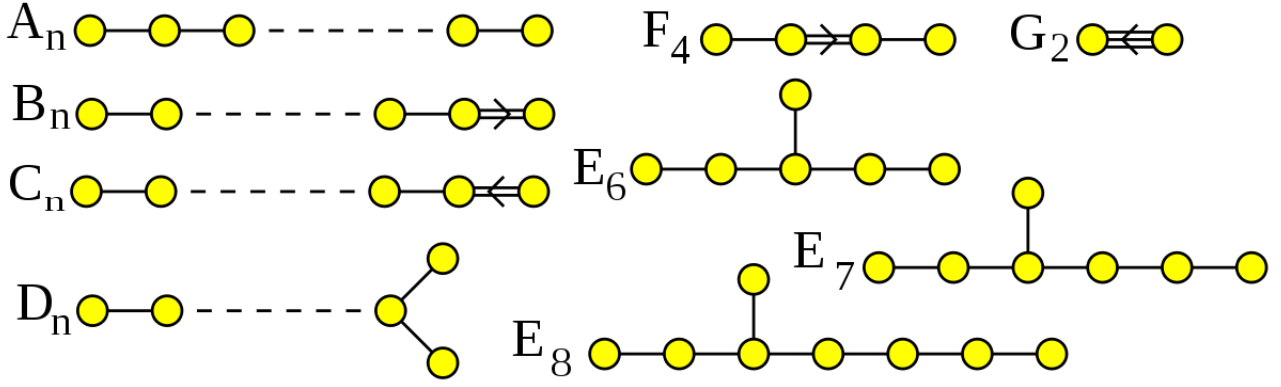
对上图所示情况, 令 $u = \sum_{i=1}^{p-1} i \cdot u_i$ , 同理作 $v, w$ . 由于 $\{u, v, w\}$ 彼此正交, 且其线性组合不为 $c$ , 故

$$1 = (c, c) > \sum \frac{(c, u)^2}{\|u\|^2} = \sum \frac{1 - p^{-1}}{2}$$

从而 $\frac{1}{p} + \frac{1}{q} + \frac{1}{r} > 1, p, q, r \geq 2$ . 从而解得以下所有可能的 $(p, q, r)$ :

- $p \in \mathbb{N} \setminus \{0, 1\}, q = r = 2$ . 对应 $D_n$ .
- $p \in \{3, 4, 5\}, q = 3, r = 2$ . 分别对应 $E_6, E_7$ 与 $E_8$ .

实际上,不可约的Dynkin图仅有以下形式. 证明见附录.



我们求得的Dynkin图( $A_n, D_n, E_6, E_7$ 或 $E_8$ )导出一切 $\lambda_{\min} = -2$ 之图. 包括线图, 广义线图, 以及例外图. 其中

- $A_n = \{e_i - e_j : e_i, e_j \in \mathbb{R}^{n+1}, i \neq j\}$ .
- $D_n = \{\pm e_i \pm e_j : e_i, e_j \in \mathbb{R}^{n+1}, i \neq j\}$ .
- $E_8 = D_8 \cup \{\frac{1}{2} \sum_{i=1}^8 \epsilon_i e_i : \epsilon_i = \pm 1, \prod_{i=1}^8 \epsilon_i = 1\}$ .
- 同构意义下, 选定 $v \in E_8, E_7 = \{x \in E_8 : x \perp v\}$ .
- 同构意义下, 选定 $E_8$ 中星状图( $v_1, v_2, v_3$ 构成),  
 $E_6 = \{x \in E_8 : x \perp v_i, i = 1, 2, 3\}$ .

一切以 $-2$ 为最小特征值的简单图对应的直线系统 $\mathcal{L}$ 在星状闭包下仅可能为 $A_n, D_n, E_i$  ( $i = 6, 7, 8$ ). 下将证明:

- 图 $G$ 有 $A_n$ 表示若且仅若 $G$ 为某一顶点数为 $n + 1$ 的二分图之线图.
- 图 $G$ 有 $D_n$ 表示若且仅若 $G$ 为某一广义线图.

注意到广义线图 $L(G, a_1, \dots, a_m)$ 即线图 $L(G)$ 上添加点

$$\{(i, \pm l) : i = 1, \dots, m, l = 1, \dots, a_i\}$$

所得. 记 $e_i + e_j$ 为 $L(G, a_1, \dots, a_m)$ 中点 $ij$ 对应的向量,  $e_i \pm e_{(i,l)}$ 分别对应点 $(i, \pm l)$ 即可得广义线图之 $D_n$ 表示. 若 $G$ 为二分图, 将边 $ij$ 记作 $e_i - e_j$ 即可得 $A_n$ 表示.

从而所有例外图均有 $E_8$ 表示. 由于 $|E_8| = 240$ , 故例外图有限.

## 根系理论

稍后.